

(HUANJING KEXUE)

ENVIRONMENTAL SCIENCE

第35卷 第10期

Vol.35 No.10

2014

中国科学院生态环境研究中心 主办

斜学出版社出版



孫 姥 科 享 (HUANJING KEXUE)

ENVIRONMENTAL SCIENCE

第35卷 第10期 2014年10月15日

目 次

基于虚拟撞击原理的固定源 PM ₁₀ /PM _{2.5} 采样器的研制 蒋靖坤,邓建国,段雷,张强,李振,陈小形,李兴华,郝吉明(3639)
1992~2012年福州市和厦门市酸雨变化特征及影响因素 郑秋萍,王宏,陈彬彬,隋平,林文(3644)
青岛近海不同天气状况下大气气溶胶中金属元素浓度分布特征研究 … 陈晓静,祁建华,刘宁,张翔宇,申恒青,刘明旭(3651)
化学合成类制药行业工艺废气 VOCs 排放特征与危害评估分析 李嫣,王浙明,宋爽,徐志荣,许明珠,徐威力(3663)
烧结过程 NO 和 SO 形成却律及烧结料组成对 NO 排放的影响
烧结过程 NO_{*} 和 SO_{2} 形成规律及烧结料组成对 NO_{*} 排放的影响 ····································
黑河中游边缘荒漠-绿洲非饱和带土壤质地对土壤氮积累与地下水氮污染的影响
無河中研辺缘元侯-绿洲非饱和市工展质地对工展氮积系与地下小氮污染的影响 ·········· 赤木中,物院,物宋(3083) 海河流域河流生态系统健康评价 ······ 郝利霞,孙然好,陈利顶(3692)
神河流域河流生态系统健康评价
台州长潭水库铁锰质量浓度变化特征及其成因分析
台州长潭水库铁锰质量浓度变化特征及其成因分析 · · · · · · · · · · · · · · · · · · ·
岩溶地下河水文地球化学对降雨的响应:以重庆雪玉洞地下河系统为例 王凤康,梁作兵,于正良,江泽丽(3716)
岩溶地下河流域水中多环芳烃污染特征及生态风险评价 … 蓝家程,孙玉川,田萍,卢丙清,师阳,徐昕,梁作兵,杨平恒(3722)
废旧电器拆解区河流沉积物中多溴联苯醚(PBDEs)的污染特征与生态风险 ····································
海河流域中南部河流沉积物的重金属牛杰风险评价
海河流域中南部河流沉积物的重金属生态风险评价
行河下游 CDOM 吸收 与带来特性的季节变化研究
辽河下游 CDOM 吸收与荧光特性的季节变化研究····································
伊·小侯仲须旭·华西汉小州从侧须杀·攻权州及阳化印影响 ————————————————————————————————————
地表水体放线菌分离鉴定与致嗅能力研究 陈娇,白晓慧,卢宁,王先云,章永辉,吴潘成,郭心驰(3769)
地下水循环井技术修复硝基苯污染含水层效果模拟 白静,赵勇胜,孙超,秦传玉,于凌(3775)
茶叶基水合氧化铁吸附水体中Pb(Ⅱ)的性能 ······ 万顺利,薛瑶,马钊钊,刘国斌,余艳霞,马明海(3782)
紫外辐射对小分子有机酸化学凝聚性作用途径探讨 王文东,王亚博,范庆海,丁真真,王文,宋珊,张银婷(3789)
水中普萘洛尔的紫外光降解机制及其产物毒性
二氧化钛(P25)光催化降解二苯砷酸的研究 王阿楠,滕应,骆永明(3800)
碳氮比对聚氨酯生物膜反应器短程硝化反硝化的影响 谭冲,刘颖杰,王薇,邱珊,马放(3807)
城市污泥中温厌氧消化过程中厌氧耐药菌的分布与去除研究 佟娟,王元月,魏源送(3814)
快速城市化区域表层土壤中杀虫剂的空间分布及风险评估
- 重庆铁山坪马尾松林土壤汞排放特征的现场测试 ································ 朴宝玉 王琼 罗瑶 段雷(3830)
快速城市化区域表层土壤中杀虫剂的空间分布及风险评估
应用 X 射线吸收近边结构谱研究东北农耕土壤中的氯种态及含量····································
应用 X 射线吸收近边结构谱研究东北农耕土壤中的氯种态及含量····································
应用 X 射线吸收近边结构谱研究东北农耕土壤中的氯种态及含量
应用 X 射线吸收近边结构谱研究东北农耕土壤中的氯种态及含量 李晶,郎春燕,马玲玲,徐殿斗,郑雷,路雨楠,崔丽瑞,张晓萌(3836) 植被重建下煤矿排土场土壤熟化过程中碳储量变化 李俊超,党廷辉,郭胜利,薛江,唐骏(3842) 硫素对氧化还原条件下水稻土氧化铁和砷形态影响 ····································
应用 X 射线吸收近边结构谱研究东北农耕土壤中的氯种态及含量 李晶,郎春燕,马玲玲,徐殿斗,郑雷,路雨楠,崔丽瑞,张晓萌(3836) 植被重建下煤矿排土场土壤熟化过程中碳储量变化 李俊超,党廷辉,郭胜利,薛江,唐骏(3842) 硫素对氧化还原条件下水稻土氧化铁和砷形态影响 ····································
应用 X 射线吸收近边结构谱研究东北农耕土壤中的氯种态及含量 李晶,郎春燕,马玲玲,徐殿斗,郑雷,路雨楠,崔丽瑞,张晓萌(3836) 植被重建下煤矿排土场土壤熟化过程中碳储量变化 李俊超,党廷辉,郭胜利,薛江,唐骏(3842) 硫素对氧化还原条件下水稻土氧化铁和砷形态影响 唐冰培,杨世杰,王代长,饶伟,张亚楠,王丹,朱云集(3851) 外生菌根真菌对 Al³+胁迫和低钾土壤的响应 张薇,黄建国,袁玲,李阳波,何林卫(3862) 长期施用猪粪水稻土抗生素抗性基因污染研究 黄福义,李虎,韦蓓,欧阳纬莹,苏建强(3869)
应用 X 射线吸收近边结构谱研究东北农耕土壤中的氯种态及含量 李晶,郎春燕,马玲玲,徐殿斗,郑雷,路雨楠,崔丽瑞,张晓萌(3836)植被重建下煤矿排土场土壤熟化过程中碳储量变化 李俊超,党廷辉,郭胜利,薛江,唐骏(3842)硫素对氧化还原条件下水稻土氧化铁和砷形态影响 唐冰培,杨世杰,王代长,饶伟,张亚楠,王丹,朱云集(3851)外生菌根真菌对 Al³ 胁迫和低钾土壤的响应 张薇,黄建国,袁玲,李阳波,何林卫(3862)长期施用猪粪水稻土抗生素抗性基因污染研究 黄福义,李虎,韦蓓,欧阳纬莹,苏建强(3869)外源添加磷和有机酸模拟铅污染土壤钝化效果及产物的稳定性研究 左继超 高婷婷 苏小娟 万田菜 胡红青(3874)
应用 X 射线吸收近边结构谱研究东北农耕土壤中的氯种态及含量 李晶,郎春燕,马玲玲,徐殿斗,郑雷,路雨楠,崔丽瑞,张晓萌(3836)植被重建下煤矿排土场土壤熟化过程中碳储量变化 李俊超,党廷辉,郭胜利,薛江,唐骏(3842)硫素对氧化还原条件下水稻土氧化铁和砷形态影响 唐冰培,杨世杰,王代长,饶伟,张亚楠,王丹,朱云集(3851)外生菌根真菌对 Al³ 胁迫和低钾土壤的响应 张薇,黄建国,袁玲,李阳波,何林卫(3862)长期施用猪粪水稻土抗生素抗性基因污染研究 黄福义,李虎,韦蓓,欧阳纬莹,苏建强(3869)外源添加磷和有机酸模拟铅污染土壤钝化效果及产物的稳定性研究 左继超 高婷婷 苏小娟 万田菜 胡红青(3874)
应用 X 射线吸收近边结构谱研究东北农耕土壤中的氯种态及含量 李晶,郎春燕,马玲玲,徐殿斗,郑雷,路雨楠,崔丽瑞,张晓萌(3836)植被重建下煤矿排土场土壤熟化过程中碳储量变化 李俊超,党廷辉,郭胜利,薛江,唐骏(3842)硫素对氧化还原条件下水稻土氧化铁和砷形态影响 唐冰培,杨世杰,王代长,饶伟,张亚楠,王丹,朱云集(3851)外生菌根真菌对 Al³ 胁迫和低钾土壤的响应 张薇,黄建国,袁玲,李阳波,何林卫(3862)长期施用猪粪水稻土抗生素抗性基因污染研究 黄福义,李虎,韦蓓,欧阳纬莹,苏建强(3869)外源添加磷和有机酸模拟铅污染土壤钝化效果及产物的稳定性研究 左继超 高婷婷 苏小娟 万田菜 胡红青(3874)
应用 X 射线吸收近边结构谱研究东北农耕土壤中的氯种态及含量 李晶,郎春燕,马玲玲,徐殿斗,郑雷,路雨楠,崔丽瑞,张晓萌(3836) 植被重建下煤矿排土场土壤熟化过程中碳储量变化 李俊超,党廷辉,郭胜利,薛江,唐骏(3842) 硫素对氧化还原条件下水稻土氧化铁和砷形态影响 唐冰培,杨世杰,王代长,饶伟,张亚楠,王丹,朱云集(3851) 外生菌根真菌对 Al³+胁迫和低钾土壤的响应 张薇,黄建国,袁玲,李阳波,何林卫(3862) 长期施用猪粪水稻土抗生素抗性基因污染研究 黄福义,李虎,韦蓓,欧阳纬莹,苏建强(3869) 外源添加磷和有机酸模拟铅污染土壤钝化效果及产物的稳定性研究 左继超,高婷婷,苏小娟,万田英,胡红青(3874) 污染场地六价铬的还原和微生物稳定化研究 郑家传,张建荣,刘希雯,许倩,施维林(3882) 热强化气相抽提对不同质地土壤中苯去除的影响 李鹏,廖晓勇,阎秀兰,崔骁勇,马栋(3888) O,浓度升高对南方城市绿化树种氮素的影响 杨田田,张巍巍,胡思柱,王效科,田媛,冯兆忠(3896)
应用 X 射线吸收近边结构谱研究东北农耕土壤中的氯种态及含量 李晶,郎春燕,马玲玲,徐殿斗,郑雷,路雨楠,崔丽瑞,张晓萌(3836) 植被重建下煤矿排土场土壤熟化过程中碳储量变化 李俊超,党廷辉,郭胜利,薛江,唐骏(3842) 硫素对氧化还原条件下水稻土氧化铁和砷形态影响 唐冰培,杨世杰,王代长,饶伟,张亚楠,王丹,朱云集(3851) 外生菌根真菌对 Al³+胁迫和低钾土壤的响应 张薇,黄建国,袁玲,李阳波,何林卫(3862) 长期施用猪粪水稻土抗生素抗性基因污染研究 黄福义,李虎,韦蓓,欧阳纬莹,苏建强(3869) 外源添加磷和有机酸模拟铅污染土壤钝化效果及产物的稳定性研究 左继超,高婷婷,苏小娟,万田英,胡红青(3874) 污染场地六价铬的还原和微生物稳定化研究 郑家传,张建荣,刘希雯,许倩,施维林(3882) 热强化气相抽提对不同质地土壤中苯去除的影响 李鹏,廖晓勇,阎秀兰,崔骁勇,马栋(3888) O,浓度升高对南方城市绿化树种氮素的影响 杨田田,张巍巍,胡思柱,王效科,田媛,冯兆忠(3896)
应用 X 射线吸收近边结构谱研究东北农耕土壤中的氯种态及含量 李晶,郎春燕,马玲玲,徐殿斗,郑雷,路雨楠,崔丽瑞,张晓萌(3836) 植被重建下煤矿排土场土壤熟化过程中碳储量变化 李俊超,党廷辉,郭胜利,薛江,唐骏(3842) 硫素对氧化还原条件下水稻土氧化铁和砷形态影响 唐冰培,杨世杰,王代长,饶伟,张亚楠,王丹,朱云集(3851) 外生菌根真菌对 Al³+胁迫和低钾土壤的响应 张薇,黄建国,袁玲,李阳波,何林卫(3862) 长期施用猪粪水稻土抗生素抗性基因污染研究 黄福义,李虎,韦蓓,欧阳纬莹,苏建强(3869) 外源添加磷和有机酸模拟铅污染土壤钝化效果及产物的稳定性研究 左继超,高婷婷,苏小娟,万田英,胡红青(3874) 污染场地六价铬的还原和微生物稳定化研究 郑家传,张建荣,刘希雯,许倩,施维林(3882) 热强化气相抽提对不同质地土壤中苯去除的影响 李鹏,廖晓勇,阎秀兰,崔骁勇,马栋(3888) O,浓度升高对南方城市绿化树种氮素的影响 杨田田,张巍巍,胡思柱,王效科,田媛,冯兆忠(3896)
应用 X 射线吸收近边结构谱研究东北农耕土壤中的氯种态及含量
应用 X 射线吸收近边结构谐研究东北农耕土壤中的氯种态及含量
应用 X 射线吸收近边结构谓研究东北农耕土壤甲的氯种态及含量
应用 X 射线吸收近边结构谱研究东北农耕土壤中的氯种态及含量
应用 X 射线吸收近边结构谱研究东北农耕土壤中的氯种态及含量 ————————————————————————————————————
应用 X 射线吸收近边结构谱研究东北农耕土壤甲的氯种态及含量 李晶,郎春燕,马玲玲,徐殿斗,郑雷,路雨楠,崔丽瑞,张晓萌(3836) 李晶,郎春燕,马玲玲,徐殿斗,郑雷,路雨楠,崔丽瑞,张晓萌(3836) 硫素对氧化还原条件下水稻土氧化铁和砷形态影响 唐冰培,杨世杰,王代长,饶伟,张亚楠,王丹,朱云集(3851) 外生菌根真菌对 Al³ 协迫和低钾土壤的响应 张薇,黄建国,袁玲,李阳波,何林卫(3862) 长期施用猪粪水稻土抗生素抗性基因污染研究 黄福义,李虎,韦蓓,欧阳纬莹,苏建强(3869) 外源添加磷和有机酸模拟铅污染土壤钝化效果及产物的稳定性研究 左继超,高婷婷,苏小娟,万田英,胡红青(3874) 污染场地六价辂的还原和微生物稳定化研究 郑家传,张建荣,刘希雯,许倩,施维林(3882) 热强化气相抽提对不同质地土壤中本去除的影响 参略,他田,张巍巍,胡思柱,王效科,田媛,冯兆忠为施、3888) 0。 浓度升高对南方城市绿化树种氮素的影响 杨田田,张巍巍,胡思柱,王效科,田媛,冯兆忠为临窥强度对不同土壤有机碳水平桉树林温室气体通量的影响 李睿达,张凯,苏丹,逯非,万五星,王效科,郑华(3903) 论Co,示踪臭氧胁迫对水稻土壤微生物的影响 李睿达,张凯,苏丹,逯非,万五星,王效科,尚鹤(3911) 表面活性剂 Burkholderia xenovorans LB400 体系对低氯代 PCBs 的好氧强化降解 陈少毅,张静,汪涵,任源(3918) 耐高氨氮异养硝化-好氧反硝化菌 TN-14 的鉴定及其脱氮性能 信欣,姚力,鲁磊,冷璐,周迎芹,郭俊元(3926) 微氧环境中电化学活性微生物的分离与鉴定 吴松,肖勇,郑志勇,郑越,杨朝晖,赵峰(3933) 电极活性菌分离过程中微生物群落结构动态特征解析 王敏,赵阳国,卢珊珊(3940) 铜对草鱼及花鲢的毒性预测;基于生物配体模型 王万宾,陈莎,吴敏,赵婧(3947) 天鹅洲故道底栖动物群落特征及水质生物学评价 马秀娟,沈建忠,王腾,王海生,黄丹,孙广文,龚成(3952) 生产源区人血清中六溴环十二烷水平与甲状腺激素相关性研究 李鹏,杨从巧,金军,王英,刘伟志,丁问微(3970) 金属氧化物-Laponite 黏土复合材料负载氧化钴催化剂的制备及对苯的催化消除性能 华真,麻春艳,程杰,李进军(3977)
应用 X 射线吸收近边结构谱研究东北农耕土壤中的氯种态及含量
应用 X 射线吸收近边结构階研究东北农耕土壤中的氯种态及含量
应用 X 射线吸收近边结构情研究东北农耕土壤中的氯种态及含量 李晶,即春燕,马玲玲,徐殿斗,郑雷,路雨楠,崔丽瑞,张晓萌(3836) 植被重建下煤矿排土场土壤熟化过程中碳储量变化 李島,即春燕,马玲玲,徐殿斗,郑雷,路雨楠,崔丽瑞,张晓萌(3836) 植被重建下煤矿排土场土壤熟化过程中碳储量变化 李俊起,党廷辉,郭胜利,薛江,唐骏(3842) 硫素对氧化还原条件下水稻土氧化铁和砷形态影响 唐冰培,杨世杰,王代长,饶伟,张亚楠,王丹,朱云集(3851) 外生菌根真菌对 Al³ 胁迫和低钾土壤的响应 张薇,黄建国,袁玲,李阳波,何林卫(3862) 长期施用猪粪水稻土抗生素抗性基因污染研究 黄福义,李虎,韦蓓。欧阳纬莹,苏建强(3869) 外源添加磷和有机酸模拟铅污染土壤钝化效果及产物的稳定性研究 左继超,高骖婷,苏小娟,万田英,胡红青(3874) 郑家传,张建荣,刘希雯、许倩,施维林(3882) 热强化气相抽提对不同质地土壤中苯去除的影响 李鹏,廖晓勇,阎秀兰,崔骁勇,马林(3888) Q,浓度升高对南方城市绿化树种氮素的影响 杨田田,张巍巍,胡思柱,王效科,田媛,马兆忠(3896) 施氮强度对不同土壤有机碳水平桉树林温室气体通量的影响 李睿达,张凯,苏丹,逯非,万五星,王效科,郑华(3903)
应用 X 射线吸收近边结构谱研究东北农耕土壤中的氯种态及含量。
应用 X 射线吸收近边结构谱研究东北农耕土壤中的氯种态及含量。
应用 X 射线吸收近边结构谱研究东北农耕土壤中的氯种态及含量。
应用 X 射线吸收近边结构情研究东北农耕土壤中的氯种态及含量 李晶,即春燕,马玲玲,徐殿斗,郑雷,路雨楠,崔丽瑞,张晓萌(3836) 植被重建下煤矿排土场土壤熟化过程中碳储量变化 李島,即春燕,马玲玲,徐殿斗,郑雷,路雨楠,崔丽瑞,张晓萌(3836) 植被重建下煤矿排土场土壤熟化过程中碳储量变化 李俊起,党廷辉,郭胜利,薛江,唐骏(3842) 硫素对氧化还原条件下水稻土氧化铁和砷形态影响 唐冰培,杨世杰,王代长,饶伟,张亚楠,王丹,朱云集(3851) 外生菌根真菌对 Al³ 胁迫和低钾土壤的响应 张薇,黄建国,袁玲,李阳波,何林卫(3862) 长期施用猪粪水稻土抗生素抗性基因污染研究 黄福义,李虎,韦蓓。欧阳纬莹,苏建强(3869) 外源添加磷和有机酸模拟铅污染土壤钝化效果及产物的稳定性研究 左继超,高骖婷,苏小娟,万田英,胡红青(3874) 郑家传,张建荣,刘希雯、许倩,施维林(3882) 热强化气相抽提对不同质地土壤中苯去除的影响 李鹏,廖晓勇,阎秀兰,崔骁勇,马林(3888) Q,浓度升高对南方城市绿化树种氮素的影响 杨田田,张巍巍,胡思柱,王效科,田媛,马兆忠(3896) 施氮强度对不同土壤有机碳水平桉树林温室气体通量的影响 李睿达,张凯,苏丹,逯非,万五星,王效科,郑华(3903)

微氧环境中电化学活性微生物的分离与鉴定

吴松1,2,肖勇2,郑志勇1,2,郑越1,2,杨朝晖1*,赵峰2*

(1. 湖南大学环境科学与工程学院,环境生物与控制教育部重点实验室,长沙 410082; 2. 中国科学院城市环境研究所, 厦门 361021)

摘要:电化学活性微生物在金属、碳等元素的生物地球化学循环,以及生物能源合成中具有重要作用.与微生物燃料电池厌氧阳极相比,微氧阳极能够捕集更多电能.但是相比于厌氧阳极中功能微生物的广泛研究,微氧阳极中的功能微生物还未被分离和研究.本研究采用传统好氧分离技术从微生物燃料电池微氧阳极分离获得3株纯菌 Aeromonas sp. WS-XY2、Citrobacter sp. WS-XY3 和 Bacterium strain WS-XY4,其中 WS-XY2 和 WS-XY3 属于变形菌门,WS-XY4 初步鉴定为新种.循环伏安、计时电流结果表明3 株菌均具有电化学活性,且具有相似的直接胞外电子传递机制.3 株菌在微生物分类学和电化学性质上的异同,表明微氧阳极能够定向筛选具有相似电化学性质的电化学活性微生物.微生物燃料电池微氧阳极具有更高效多样的功能微生物,可能是微氧阳极性能优于厌氧阳极的一个原因.因此,进一步针对微生物燃料电池微氧阳极中功能微生物的研究,将有助于阐明微氧阳极提高微生物燃料电池电能捕集的微生物机制.

关键词:电化学活性微生物;微生物燃料电池;微氧阳极;循环伏安;计时电流

中图分类号: X172 文献标识码: A 文章编号: 0250-3301(2014)10-3933-07 DOI: 10.13227/j. hjkx. 2014. 10. 041

Isolation and Identification of Electrochemically Active Microorganism from Micro-Aerobic Environment

WU Song^{1,2}, XIAO Yong², ZHENG Zhi-yong^{1,2}, ZHENG Yue^{1,2}, YANG Zhao-hui¹, ZHAO Feng²

(1. Key Laboratory of Environmental Biology and Pollution Control, Ministry of Education, College of Environmental Science and Engineering, Hunan University, Changsha 410082, China; 2. Institute of Urban Environment, Chinese Academy of Sciences, Xiamen 361021, China)

Abstract: Extracellular electron transfer of electrochemically active microorganism plays vital role in biogeochemical cycling of metals and carbon and in biosynthesis of bioenergy. Compared to anaerobic anode, micro-aerobic anode captures more energy from microbial fuel cell. However, most of previous researches focused on functioning bacteria in anaerobic anode, functioning bacteria in micro-aerobic anode was rarely studied. Herein, we used the traditional aerobic screening technology to isolate functioning bacteria from a micro-aerobic anode. Three pure cultures *Aeromonas* sp. WS-XY2, *Citrobacter* sp. WS-XY3 and Bacterium strain WS-XY4 were obtained. WS-XY2 and WS-XY3 were belonged to Proteobacteria, whereas WS-XY4 was possibly a new species. Cyclic voltammetry and chronoamperometry analysis demonstrated all of them showed the electrochemical activity by direct extracellular electron transfer, and micro-aerobic anode could select bacteria that have similar electrochemical activity to proliferate on the anode. We further conclude that functioning bacteria in micro-aerobic anode are more efficient than that of anaerobic anode may be the reason that micro-aerobic anode has better performance than anaerobic anode. Therefore, a thorough study of functioning bacteria in micro-aerobic anode will significantly promote the energy recovery from microbial fuel cell.

Key words; electrochemically active microorganism; microbial fuel cell; micro-aerobic anode; cyclic voltammetry; chronoamperometry

电化学活性微生物是能够将代谢产生电子传递到细胞外或从细胞外捕获电子进行代谢的一类具有胞外电子传递功能的微生物^[1]. 其胞外电子传递在金属的生物地球化学循环,以及生物能源合成过程中具有重要作用^[2]. 以微生物燃料电池为基础的生物电化学系统能够富集电化学活性微生物,从而加速石油烃、多环芳烃等的氧化降解^[3],重金属、高氯酸盐等的还原修复^[4],CH₄、H₂等能源物质的合成. 因此,对生物电化学系统中电化学活性微生物的系统研究,将会极大促进深入理解金属、碳、氮、硫等元素的生物地球化学循环,并加速高效环境生

物技术的应用. 微生物群落结构和多样性分析,可以揭示群落结构与功能的联系; 而基于纯种功能微生物的研究,能够深入阐明功能实现的机制^[5].

在微生物燃料电池中,通常认为阳极需要维持 厌氧条件,以促进电能的收集. Rosenbaum 等^[6]用 恒电位三电极体系研究氧气对 Shewanella oneidensis 产电的影响,发现少量氧气能够使电流响应增大,增

收稿日期: 2014-03-14; 修订日期: 2014-04-07

基金项目: 国家自然科学基金项目(21322703,21177122,51208490) 作者简介: 吴松(1989~),男,硕士研究生,主要研究方向为环境生 物电化学,E-mail;swu@issas.ac.cn

^{*} 通讯联系人,E-mail;yzh@ hnu. edu. cn; fzhao@ iue. ac. cn

加单位时间电能的收集量. Fan 等[7] 和 Ringeisen 等[8] 也发现在混合菌群构建的微生物燃料电池阳 极通入微量的氧气,能够提升电池功率密度.此外, TerAvest 等[9] 发现与厌氧条件相比,在微氧条件下 S. oneidensis MR-1 可以加速分泌核黄素,从而促进 电能的高效收集. Quan 等[10] 比较了微生物燃料电 池有氧与厌氧阳极中的微生物群落结构,发现两种 条件下,群落结构有77%的相似度,还存在很多差 异群落. 此外,在已报道分离自生物电化学系统的 电化学活性微生物中,绝大部分都是采用厌氧分离 技术分离获得[1,11]. 基于以上研究结果,本实验中 采用传统的好氧分离技术而不是被广泛应用的厌氧 分离技术,从微生物燃料电池的微氧阳极分离电化 学活性细菌. 尝试在纯菌水平上探讨微氧阳极中功 能微生物与已报道的厌氧阳极中功能微生物的差 异,从而进一步阐明微氧阳极提高微生物燃料电池 电能捕集的微生物机制.

1 材料与方法

1.1 培养分离

在本实验中建了一个双室微生物燃料电池,微 生物燃料电池阳极和阴极室均为5 cm×5 cm×5 cm 的立方体,阳极和阴极室均有两块4 cm×4 cm× 0.4 cm 的碳毡通过钛丝叠加串联,浸于电解液中作 为电极. 微生物燃料电池阳极以集美污水处理厂二 沉池污泥作为接种污泥. 驯化过程中,10 mmol·L⁻¹ 乙酸钠作为阳极电子供体,50 mmol·L⁻¹铁氰化钾作 为阴极电子受体,阳极维持微氧状态,置于32℃培 养箱中培养. 微氧环境中溶解氧一般小于 1 mg·L-1[12]. 阳极微氧环境的实现通过在阳极室 开一个 Φ 1 cm 的孔,同时在池底加一个长 1.2 cm 的转子,置于磁力搅拌器上以 100 r·min -1 的低转速 进行搅拌来实现. 阳极室溶解氧用溶解氧微电极 (REF 321, Unisense, 丹麦)进行测定, 得到阳极室溶 解氧为 0.8~1.1 mg·L⁻¹,即为本研究中微生物燃 料电池微氧阳极的维持微氧状态.

待微生物燃料电池运行稳定后,从阳极碳毡刮下生物膜,放入 50 mmol·L⁻¹ 磷酸盐缓冲液 (phosphate belanced solution, PBS, pH = 7.0)中,经 漩涡振荡混匀,作为纯菌分离源. 分离所用培养基为 Luria-Bertani 培养基(LB):酵母提取物 5 g·L⁻¹,蛋白胨 10 g·L⁻¹,氯化钠 5 g·L⁻¹. 培养基 pH = 7.0,当配制固体培养基时,加入 20 g·L⁻¹琼脂条.实验中通过梯度稀释法,进行平板划线初步获得单

菌落,然后接入液体 LB 培养基增殖. 为了确保获得纯菌,固体平板划线和液体增殖的过程依次重复3次.

1.2 菌株鉴定

菌株全基因组的提取参考 Yang 等[13]的方法. 提取的全基因组样品使用引物对 27F(5'-AGA GTT TGA TCC TGG CTC AG-3')和 1492R (5'-GGT TAC CTT GTT ACG ACT T-3')对 16S rRNA基因片段进 行 PCR 扩增. PCR 反应程序参考 Xiao 等[14]的方 法. PCR 扩增的 DNA 片段使用试剂盒进行纯化 (DP1401, BioTeke, 中国),纯化产物使用 pGM-T 连 接试剂盒(TianGen,中国) 和 Escherichia coli Top10 (Sangon,中国)进行克隆. 克隆 DNA 片段使用引物 对 T7f 和 SP6r 进行 PCR 扩增检验. 阳性克隆样品 送上海美吉进行 DNA 测序. 测序结果提交 GenBank 并获得登录号. 使用 GenBank 的 BLAST (http://blast.ncbi.nlm.nih.gov/Blast.cgi)对测序 结果进行同源性比较,获得与测定序列相似性最高 的已知序列数据. 使用软件 DNAStar v5.0 (DNASTAR, USA)的 MegAlign 程序对同源性比对 获得的序列数据建立系统发育树.

1.3 菌体形态观察

扫描电镜菌体样品的前处理方法为: LB 培养基中培养至稳定期菌体的收集与 PBS 清洗; 2.5% 戊二醛室温固定 4h 或置于 4℃冰箱过夜; 30%、50%、70%、90%、100% 乙醇进行梯度脱水; 乙醇脱水后样品用滤纸包好, 置于超临界干燥器(Samdri-PVT-3D, Gatan, 美国)中干燥 6h. 处理好的菌体样品固定于导电胶上,经喷金处理后,通过扫描电镜(S-4800, Hitachi, 日本)进行菌体形态观察,并采集菌体形态图片.

1.4 循环伏安

循环伏安实验使用三电极体系,通过电化学工作站进行(CHI 660D,上海辰华). 三电极体系中玻碳(Φ 3 mm)、铂丝和 Ag/AgCl(饱和 KCl 溶液)分别作为工作电极、对电极和参比电极. 本文所有的电势值都是相对于饱和 Ag/AgCl 参比电极. Masuda等[15]发现 LB 培养基中的酵母提取物中含有核黄素,并且此物质能够作为电子中介体在微生物与电极间进行电子传递. 因此本文后续实验中的微生物培养都使用 LB(Y-)培养基:蛋白胨 10 g·L⁻¹,氯化钠5 g·L⁻¹.

在循环伏安测试过程中,首先对电解液进行通氮 气处理 15 min 以上,以去除电解液中的氧气. 生长至 稳定期的菌体经离心收集后,用 PBS 清洗 3 次,以清除菌体表面附着的胞外物质.清洗后的菌体立即用 Nafion(Sigma,美国)固定于玻碳电极,进行循环伏安测试,用于初步研究菌体是否存在直接胞外电子传递能力.此外,菌体培养液的上清液也进行循环伏安扫描,以确定菌体是否具有分泌氧化还原电子中介体进行间接胞外电子传递的能力.循环伏安测试中,电势扫描范围为 -0.5 ~0.3 V,扫描速率为10 mV·s⁻¹,电解液持续通氮气,以保持无氧状态.

1.5 计时电流

计时电流实验使用三电极体系,通过电化学工作站进行(CHI 1000B,上海辰华). 三电极体系中碳毡(3 cm×3 cm)、碳毡(1 cm×3 cm)和饱和 Ag/AgCl分别作为工作电极、对电极和参比电极. 实验中,三电极反应体系在 100 mL 蓝盖瓶中进行,通过橡胶塞进行密封,隔绝氧气,同时防止外来微生物的污染. 测试过程中,蓝盖瓶中加入 90 mL LB(Y-)培养基,实验组接种 2~5 mL 稳定期菌液,对照组不接种菌体.

2 结果与讨论

2.1 纯菌的分离与鉴定

采用传统的好氧平板分离技术,结合梯度稀释法,笔者从微生物燃料电池微氧阳极分离获得3株纯菌.图1为根据3株纯菌的16SrRNA基因序列构

建的系统进化树. 在细菌分类鉴定中, Embley 等[16] 认为当16S rRNA基因序列的同源性大于97%时,可 认为是一个种: Godfellow 等[17] 认为 DNA 的 G + C mol%差异低于12%以及16S rRNA基因序列同源性 不低于95%的种可归属为一个属. 图 1 中 WS-XY2 的 16S rRNA 基因与 Aeromonas 属中 Aeromonos hydrophila BJ、Aeromonos punctata W20060720 和 Aeromonos aquariorum N2 这 3 个种的16S rRNA基因 具有99%的相似度,命名为Aeromonas sp. WS-XY2. WS-XY3 的 16S rRNA 基因与 Citrobacter 属中 Citrobacter freundii JZ01, Citrobacter murliniae FFL15 和 Citrobacter braakii RCPS-4 这 3 个种的16S rRNA 基因具有 100% 的相似度,命名为 Citrobacter sp. WS-XY3. 图 1 中 WS-XY4,其16S rRNA基因序列在 NCBI 中的比对结果显示,与其序列相似度大于 95%的序列均是未培养细菌;而与其序列相似度为 95%的序列,却是来自于不同种属的几株菌 (Enterobacter sp. strain PP9C, Endophytic bacterium strain GYPB16, Leclercia adecarboxylata strain C107, Pantoae agglomerans strain ABAC23 和 Averyella dalhousiensisi strain Z173). 因此,基于 WS-XY4 的 16S rRNA基因序列的比对结果,笔者初步推断 WS-XY4 为新种,需要后续的生理生化实验来进一步在 分类学上对其进行鉴定,初步命名为 Bacterium strain WS-XY4.

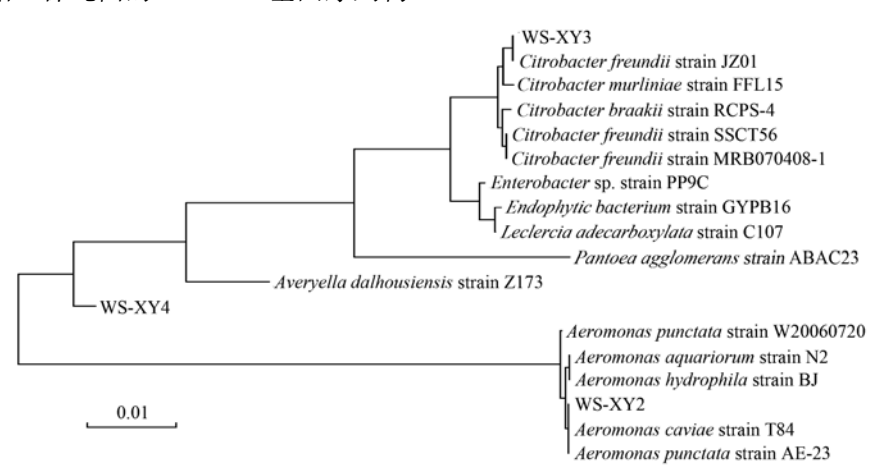


图 1 基于 3 株纯菌的16S rRNA基因序列构建的系统进化树

Fig. 1 Phylogenetic tree based on 16S rRNA gene sequences of the 3 pure bacteria

图 2 为 3 株选定菌株的扫描电镜图片,结果显示 3 株菌都为杆状,且均约 2 μm 长. WS-XY2 和WS-XY3 的以上形态特性都与伯杰氏手册中描述的对应种属细菌的形态特征一致,从而进一步证实了16S rRNA基因鉴定的结果. 变形菌门在 BES

中是优势功能微生物^[18],很多通过厌氧分离技术 从微生物燃料电池厌氧阳极分离的电化学活性微 生物都属于变形菌门^[1].并且关于电化学活性微 生物胞外电子传递机制的研究,也主要是集中在 变形菌门的 Geobacter spp. 和 Shewanella spp. 中进 行. 本实验利用好氧分离技术从微生物燃料电池 微氧阳极分离获得的 Aeromonas sp. WS-XY2、 Citrobacter sp. WS-XY3 和 Bacterium strain WS-XY4 中, WS-XY2 和 WS-XY3 均属于变形菌门, 但是 WS-XY4 在系统进化关系上与 WS-XY2 和 WS-XY3 差异较大. 因此进一步的纯菌电化学活性分析,将有助于揭示微生物燃料电池微氧阳极中的功能微生物.

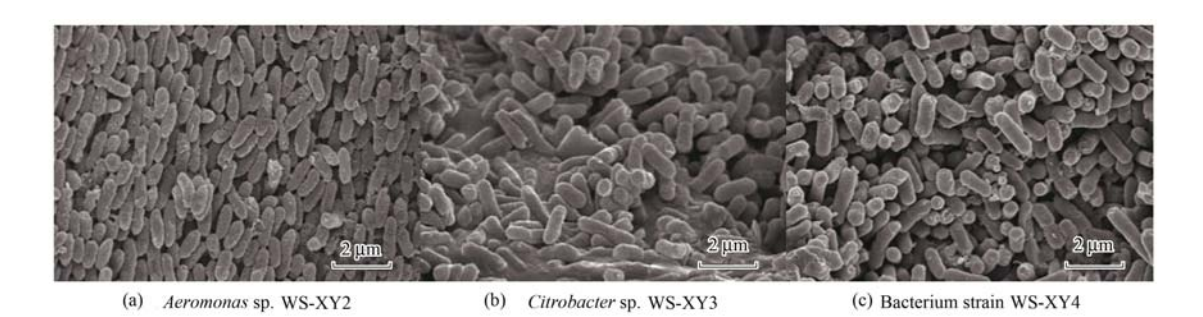


图 2 Aeromonas sp. WS-XY2、Citrobacter sp. WS-XY3、Bacterium strain WS-XY4 的扫描电镜图片

Fig. 2 Scanning electron microscope image of Aeromonas sp. WS-XY2, Citrobacter sp. WS-XY3, Bacterium strain WS-XY4

2.2 纯菌的电化学活性分析

为了能够判断已知菌株的电化学活性,通常需 要循环伏安、计时电流以及构建纯菌燃料电池等方 法进行实验. 此外 Yuan 等[19]制备了电致变色材料 WO, 纳米簇,该材料可以用于快速鉴定产电菌,但 此种方法因不能具体确定电化学活性微生物的氧化 还原峰电位,仅适用于初步筛选电化学活性微生物. 循环伏安曲线能够清晰地呈现出菌体及其培养液上 清的氧化还原状况. 通过菌体和培养液上清的循环 伏安曲线,可以推断菌体表面或溶液中是否存在氧 化还原活性物质,但是关于氧化还原活性物质是否 参与菌体代谢过程的电子传递,还需要进一步实验 进行验证. 在已有的关于纯菌电化学活性鉴定的文 献报道中,通常通过构建微生物燃料电池来测试其 产电性能[11]. 然而微生物燃料电池的启动,通常需 要数十天才形成稳定的产电生物膜[20]. 同时基于 纯菌的燃料电池在长期运行中,大大增加了其被外 来细菌污染的风险. Wang 等[21] 发现控制阳极电位 能加速微生物燃料电池的启动,因此本研究中通过 构建密闭的恒电位三电极体系进行纯菌电化学活性 的进一步验证,缩短实验周期以避免外来细菌的 污染.

2.2.1 循环伏安分析

本研究首先采用循环伏安,对分离的纯菌进行 初步电化学活性分析. 图 3(a)~3(c)中实验结果 表明,3 株分离纯菌的菌体表面都存在氧化还原活性物质,能与电极间进行直接胞外电子传递. 它们 都在 0.1 V 左右有一个氧化峰,在 -0.2 V 左右有一个还原峰. 在已知模式菌 S. oneidensis 的循环伏

安图中,也在以上电势范围内出现氧化还原峰电流^[22].并且基于 *S. oneidensis* 基因和蛋白水平的研究表明,其对应峰电位发生的直接胞外电子传递是由菌体表面蛋白细胞色素 c 引起^[23].因此,本研究初步推断图 $3(a) \sim 3(c)$ 中出现在 0.1 V 和 -0.2 V 左右的峰电流响应可能是由位于菌体表面的细胞色素 c 引起.

此外, WS-XY3 和 WS-XY4 两株菌的循环伏安图中, 在 - 0.4 V 左右均存在一对氧化还原峰. Marsili 等^[24]发现 S. oneidensis 可以分泌核黄素与电极间进行间接胞外电子传递, 而且核黄素的氧化还原电位在 - 0.4 V 左右. 核黄素是生物生长代谢所必需的元素, 它可以被大多数微生物合成^[25], 并且核黄素很容易吸附在细胞或电极表面而不易被清洗, 因此笔者推断 WS-XY3 和 WS-XY4 两株菌的循环伏安图中 - 0.4 V 左右的氧化还原峰可能是由吸附于菌体上的核黄素引起.

图 3(a)~3(c)菌体的电化学活性分析初步表明 3 株菌的菌体表面都存在氧化还原活性物质,但并不能证明菌株是否具有间接胞外电子传递作用.图 3(d)中空白培养基和 3 株菌培养液上清的循环伏安图均未出现氧化还原峰电流响应,表明 3 株菌都不能分泌具有电化学活性的电子中介体,或者分泌的电子中介体浓度太低,以致于不能通过循环伏安检测到.

2.2.2 计时电流分析

通过图 3 的循环伏安曲线,可以推断菌体表面存在氧化还原活性物质,为了进一步验证菌体表面氧化还原活性物质是否参与菌体代谢过程的电子传

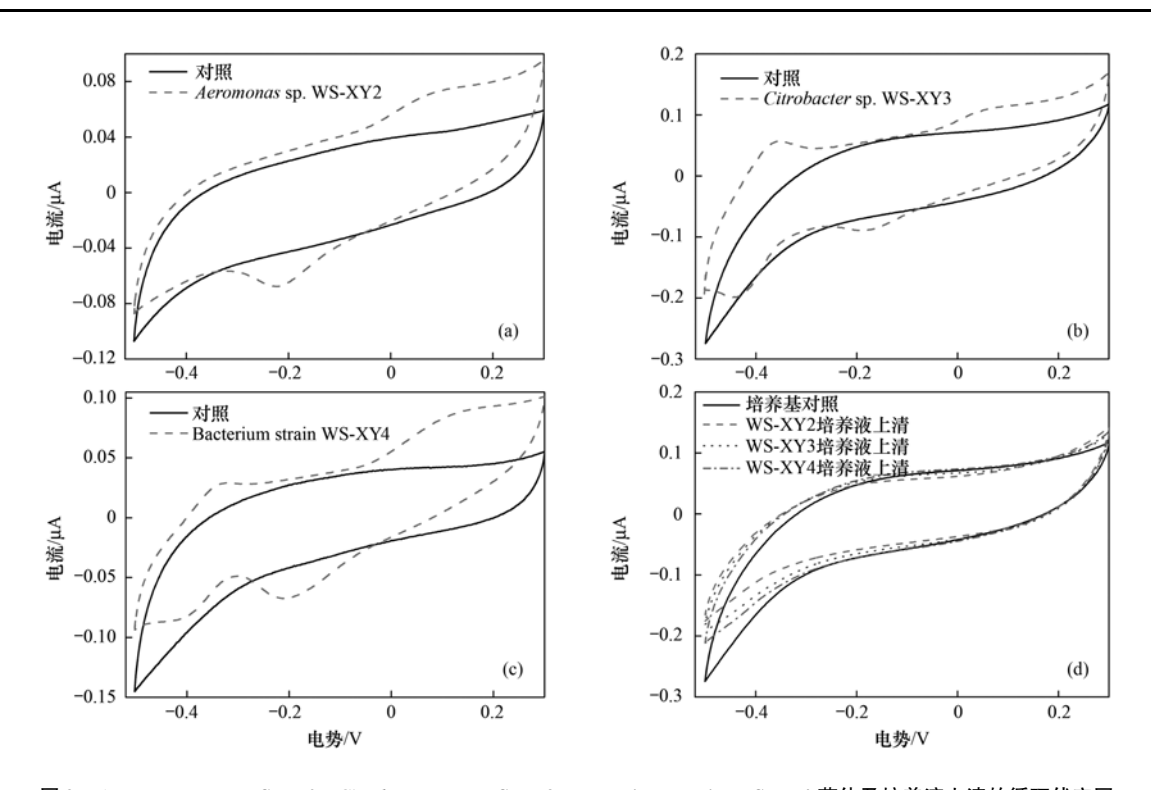


图 3 Aeromonas sp. WS-XY2、Citrobacter sp. WS-XY3、Bacterium strain WS-XY4 菌体及培养液上清的循环伏安图 Fig. 3 Cyclic voltammetry of Aeromonas sp. WS-XY2、Citrobacter sp. WS-XY3、Bacterium strain WS-XY4 cell and their culture medium supernatant (cell-free)

递,笔者进行计时电流分析. 图 4 为 3 株菌的计时 电流结果,电流响应曲线表明3株菌都能够将代谢 过程中产生的电子传递到细胞外,即3株菌都具有 电化学活性. 当在工作电极分别施加 0.05 V 和 0.2 V 电位时,随着菌体的代谢,3 株菌在两个电位下均 出现电流增大的响应. 当设定工作电极电位为 0.05 V 时, 电流的峰值响应是由于 - 0.4 V 处氧化反应 的发生引起; 当设定工作电极电位为 0.2 V 时,电 流的峰值响应是由于 -0.4 V 和 0.1 V 左右氧化反 应的发生引起. 对于 WS-XY3 和 WS-XY4 两株菌, 结果表明菌体循环伏安图中位于 0.1 V 和 -0.4 V 左右的氧化峰均参与菌体的代谢电子传递,这与 S. putrefaciens 在不同阳极电位下的电流响应相一 致[26]. 然而对于 WS-XY2,其循环伏安曲线中只在 0.1 V 左右有一个氧化峰出现,但是当工作电极电 位设定为低于 0.1 V 的 0.05 V 时,随着菌体的代谢 与增殖, 电流也出现峰值响应. Geobacter sulfurreducens 在低于其氧化峰电位的阳极电位下也 呈现出了与 WS-XY2 相一致的电流响应[27]. 因此 可能是由于菌体能够根据工作电极电位自动调整菌 体表面氧化还原活性蛋白氧化态和还原态的比例, 来改变菌体表面最终电子供体的电位,使其低于电 极电位,从而促进代谢产生电子由菌体传递到电极 表面^[28]. 最近 Okamoto 等^[29] 研究发现 Geobacter sulfurreducens 细胞表面的细胞色素 c 能够通过与菌体分泌的核黄素结合,从而降低其氧化还原电位,也进一步证实了菌体自身能够调整表面蛋白氧化还原电位. 综上所述,对于生物电化学体系中的研究结果,如果要用经典的电化学理论进行解释,需要同时根据电化学和生物学数据进行综合考量.

3 株菌出现相似的计时电流响应,并且都在 0.1 V和-0.2 V左右出现峰电流,这可能是微氧阳极 的定向选择,使具有相似电化学性质的微生物富集 在阳极,作为功能微生物. WS-XY2 和 WS-XY3 同 属于变形菌门,且对应种属中有电化学活性细菌 Aeromonas hydrophila^[30]和 Citrobacter sp. SX-1^[31]从 微生物燃料电池厌氧阳极分离获得,表明厌氧阳极 与微氧阳极有相似的功能微生物. 但是本研究中还 分离出初步鉴定为新种的 WS-XY4,表明厌氧阳极 与微氧阳极功能微生物也存在差异. 以上结论与 Ouan 等[10] 在群落水平上得出的厌氧阳极与微氧阳 在群落结构存在 77% 相似相耦合. WS-XY4 由于在 分类学鉴定上没有与之高度相似的种属,笔者正在 尝试通过系统的生理生化鉴定来确定其种属,以便 进一步围绕 WS-XY4 进行深入研究,从而从微生物 角度深入理解微氧阳极优于厌氧阳极的机制.

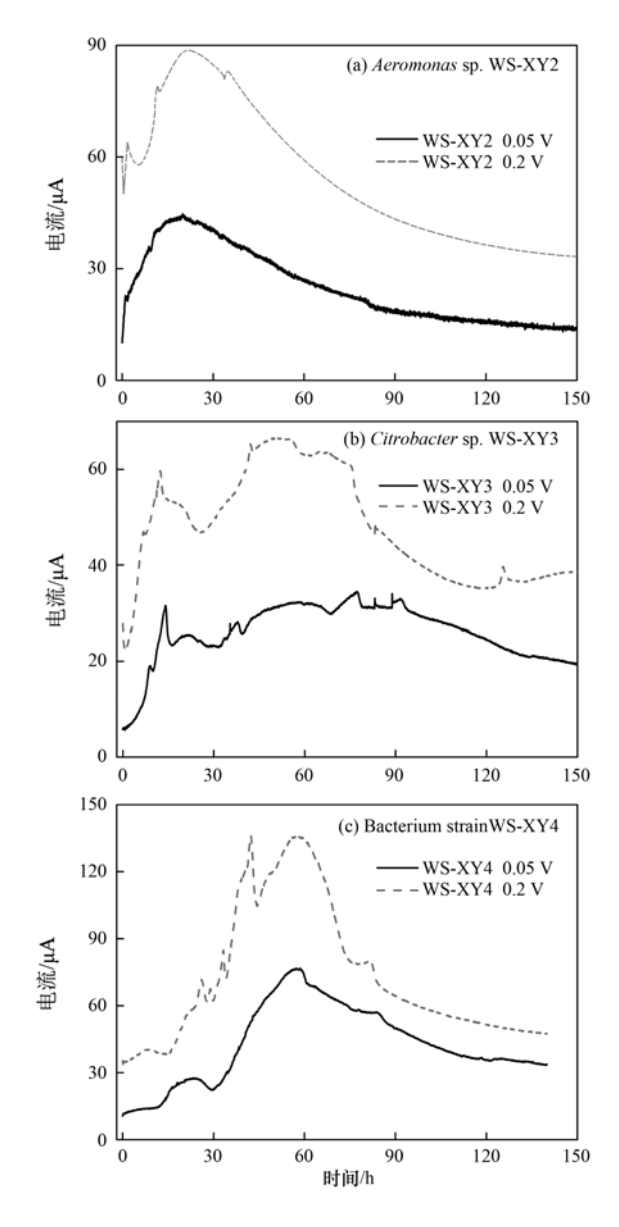


图 4 Aeromonas sp. WS-XY2、Citrobacter sp. WS-XY3、 Bacterium strain WS-XY4 的计时电流

Fig. 4 Chronoamperometry of Aeromonas sp. WS-XY2, Citrobacter sp. WS-XY3, Bacterium strain WS-XY4

3 结论

- (1)本研究采用好氧分离技术从微生物燃料电池微氧阳极分离获得 3 株纯菌,其中 WS-XY2 和 WS-XY3 均属于变形菌门, WS-XY4 初步鉴定为新种.
- (2)基于循环伏安和计时电流的电化学活性分析表明3株菌都具有电化学活性,且都只有直接胞外电子传递能力.3株菌在微生物分类学上和电化学性质上的异同,也表明微氧阳极能够定向筛选具有相似电化学性质的电化学活性微生物.

(3)微生物燃料电池微氧阳极具有更高效多样的功能微生物,可能是微氧阳极性能优于厌氧阳极的一个原因. 因此,进一步针对微生物燃料电池微氧阳极中功能微生物的研究,可以更全面地理解生物电化学系统,从而能够深入理解金属、碳等元素的生物地球化学循环和加速高效环境生物技术的应用.

参考文献:

- [1] 肖勇, 吴松, 杨朝晖, 等. 电化学活性微生物的分离与鉴定 [J]. 化学进展, 2013, **25**(10): 1771-1780.
- [2] Kato S, Hashimoto K, Watanabe K. Microbial interspecies electron transfer via electric currents through conductive minerals
 [J]. Proceedings of the National Academy of Sciences of the United States of America, 2012, 109(25): 10042-10046.
- [3] Wang X, Cai Z, Zhou Q X, et al. Bioelectrochemical stimulation of petroleum hydrocarbon degradation in saline soil using U-tube microbial fuel cells [J]. Biotechnology and Bioengineering, 2012, 109(2): 426-433.
- [4] Huang L P, Chai X L, Chen G H, et al. Effect of set potential on hexavalent chromium reduction and electricity generation from biocathode microbial fuel cells [J]. Environmental Science & Technology, 2011, 45(11): 5025-5031.
- [5] Lovley D R. Electromicrobiology [J]. Annual Review of Microbiology, 2012, 66: 391-409.
- [6] Rosenbaum M, Cotta M A, Angenent L T. Aerated Shewanella oneidensis in continuously fed bioelectrochemical systems for power and hydrogen production [J]. Biotechnology and Bioengineering, 2010, 105(5): 880-888.
- [7] Fan Y Z, Han S K, Liu H. Improved performance of CEA microbial fuel cells with increased reactor size [J]. Energy & Environmental Science, 2012, 5(8): 8273-8280.
- [8] Ringeisen B R, Ray R, Little B. A miniature microbial fuel cell operating with an aerobic anode chamber [J]. Journal of Power Sources, 2007, 165(2): 591-597.
- [9] TerAvest M A, Rosenbaum M A, Kotloski N J, et al. Oxygen allows Shewanella oneidensis MR-1 to overcome mediator washout in a continuously fed bioelectrochemical system [J]. Biotechnology and Bioengineering, 2014, 111(4): 692-699.
- [10] Quan X C, Quan Y P, Tao K, et al. Comparative investigation on microbial community and electricity generation in aerobic and anaerobic enriched MFCs [J]. Bioresource Technology, 2013, 128: 259-265.
- [11] 冯玉杰,李贺,王鑫,等. 电化学产电菌的分离及性能评价 [J]. 环境科学, 2010, **31**(11): 2804-2810.
- [12] Ergüder T H, Demirer G N. Investigation of granulation of a mixture of suspended anaerobic and aerobic cultures under alternating anaerobic/microaerobic/aerobic conditions [J]. Process Biochemistry, 2005, 40(12); 3732-3741.
- [13] Yang Z H, Xiao Y, Zeng G M, et al. Comparison of methods for total community DNA extraction and purification from compost [J]. Applied Microbiology and Biotechnology, 2007, 74(4);

- 918-925.
- [14] Xiao Y, Wu S, Zhang F, et al. Promoting electrogenic ability of microbes with negative pressure [J]. Journal of Power Sources, 2013, 229: 79-83.
- [15] Masuda M, Freguia S, Wang Y F, et al. Flavins contained in yeast extract are exploited for anodic electron transfer by Lactococcus lactis[J]. Bioelectrochemistry, 2010, 78(2): 173-175
- [16] Embley T M, Stackebrandt E. The molecular phylogency and systematics of the actinomycetes [J]. Annual Reviews in Microbiology, 1994, 48(1): 257-289.
- [17] Goodfellow M, O'donnell A G. Handbook of new bacterial systematics M. London: Academic Press, 1993. 191-195.
- [18] Logan B E, Regan J M. Electricity-producing bacterial communities in microbial fuel cells[J]. Trends in Microbiology, 2006, 14(12): 512-518.
- [19] Yuan S J, He H, Sheng G P, et al. A photometric highthroughput method for identification of electrochemically active bacteria using a WO₃ nanocluster probe [J]. Scientific Reports, 2013, doi:10.1038/srep01315.
- [20] 范明志,梁鹏,曹效鑫,等. 阳极初始电势对微生物燃料电池产电的影响[J]. 环境科学, 2008, **29**(1); 263-267.
- [21] Wang X, Feng Y J, Ren N Q, et al. Accelerated start-up of two-chambered microbial fuel cells; Effect of anodic positive poised potential [J]. Electrochimica Acta, 2009, 54(3); 1109-1114.
- [22] Wu R R, Cui L, Chen L X, et al. Effects of bio-Au nanoparticles on electrochemical activity of Shewanella oneidensis wild type and ΔomcA/mtrC mutant [J]. Scientific Reports, 2013, doi:10.1038/srep03307.
- [23] Shi L, Richardson D J, Wang Z M, et al. The roles of outer membrane cytochromes of *Shewanella* and *Geobacter* in extracellular electron transfer [J]. Environmental Microbiology

- Reports, 2009, 1(4): 220-227.
- [24] Marsili E, Baron D B, Shikhare I D, et al. Shewanella secretes flavins that mediate extracellular electron transfer [J]. Proceedings of the National Academy of Sciences of the United States of America, 2008, 105(10): 3968-3973.
- [25] Abbas C A, Sibirny A A. Genetic control of biosynthesis and transport of riboflavin and flavin nucleotides and construction of robust biotechnological producers [J]. Microbiology and Molecular Biology Reviews, 2011, 75(2): 321-360.
- [26] Carmona-Martínez A A, Harnisch F, Kuhlicke U, et al. Electron transfer and biofilm formation of Shewanella putrefaciens as function of anode potential [J]. Bioelectrochemistry, 2013, 93: 23-29.
- [27] Zhu X P, Yates M D, Logan B E. Set potential regulation reveals additional oxidation peaks of *Geobacter sulfurreducens* anodic biofilms[J]. Electrochemistry Communications, 2012, 22: 116-119.
- [28] Logan B E. Exoelectrogenic bacteria that power microbial fuel cells [J]. Nature Reviews Microbiology, 2009, 7(5): 375-381.
- [29] Okamoto A, Saito K, Inoue K, et al. Uptake of self-secreted flavins as bound cofactors for extracellular electron transfer in Geobacter species [J]. Energy & Environmental Science, 2014, 7(4): 1357-1361.
- [30] Pham C A, Jung S J, Phung N T, et al. A novel electrochemically active and Fe (III)-reducing bacterium phylogenetically related to Aeromonas hydrophila, isolated from a microbial fuel cell [J]. FEMS Microbiology Letters, 2003, 223 (1): 129-134.
- [31] Xu S, Liu H. New exoelectrogen Citrobacter sp. SX-1 isolated from a microbial fuel cell[J]. Journal of Applied Microbiology, 2011, 111(5): 1108-1115.

HUANJING KEXUE

Environmental Science (monthly)

Vol. 35 No. 10 Oct. 15, 2014

CONTENTS

CONTENTS	
Development of a Two Stage Virtual Impactor for Stationary Source PM ₁₀ and PM _{2.5} Sampling	
Characteristics and the Impact Factors of Acid Rain in Fuzhou and Xiamen 1992-2012	···· ZHENG Qiu-ping, WANG Hong, CHEN Bin-bin, et al. (3644
Concentration Distribution of Metal Elements in Atmospheric Aerosol Under Different Weather Conditions in Qingdao Coastal Region	n ······ CHEN Xiao-jing, QI Jian-hua, LIU Ning, et al. (3651
Emission Characteristics and Hazard Assessment Analysis of Volatile Organic Compounds from Chemical Synthesis Pharmaceutical I	Industry ·····
	LI Yan, WANG Zhe-ming, SONG Shuang, et al. (3663
NO _x and SO ₂ Formation in the Sintering Process and Influence of Sintering Material Composition on NO _x Emissions	
Application of Activated Carbon from Waste Tea in Desulfurization and Denitrification	SONG Lei, ZHANG Bin, DENG Wen (3674
Effect of Soil Texture in Unsaturated Zone on Soil Nitrate Accumulation and Groundwater Nitrate Contamination in a Marginal Oasis	s in the Middle of Heihe River Basin ·····
	SU Yong-zhong, YANG Xiao, YANG Rong (3683
Health Assessment of River Ecosystem in Haihe River Basin, China	HAO Li-xia, SUN Ran-hao, CHEN Li-ding (3692
Analysis on the Variation Characteristics of Iron and Manganese Concentration and Its Genesis in Changtan Reservoir in Taizhou, Z	Chejiang Province ·····
,	LIU Shu-yuan, ZHENG Chen, YUAN Qi, et al. (3702
Spatiotemporal Characteristics of Nitrogen and Phosphorus in a Mountainous Urban Lake	
Formation of Geochemistry in Underground River Under Rainfall Conditions: An Example for Underground River at Xueyu Cave, C	Chongqing ·····
	WANG Feng-kang, LIANG Zuo-bing, YU Zheng-liang, et al. (3716)
Contamination and Ecological Risk Assessment of Polycyclic Aromatic Hydrocarbons in Water and in Karst Underground River Cate	hment ·····
	LAN Jia-cheng, SUN Yu-chuan, TIAN Ping, et al. (3722
Pollution Characteristics and Ecological Risk of Polybrominated Diphenyl Ethers (PBDEs) in River Sediments from an Electrical E	guipment Dismantling Area
	··· CHEN Xuan-vu XUE Nan-dong ZHANG Shi-lei <i>et al.</i> (3731
Ecological Risk Assessment of Heavy Metals in Surface Sediments in the Southern and Central Haihe River Basin	
Distribution Characteristics of COD and DO and Its Influencing Factors in the Daliaohe Estuary	
Seasonal Variation in the Absorption and Fluorescence Characteristics of CDOM in Downstream of Liaohe River	
Nitrogen Uptake and Denitrification Study on the Joint Treatment of Aquatic Vegetation and Immobilized Nitrogen Cycling Bacteria	
Mudgen optake and Demanication Study on the John Treatment of Aquatic vegetation and miniophized Mudgen dyering bacteria	III Dan dan II 7hang kui VE 7hang yiang at al. (3764
Actinobacteria and Their Odor-producing Capacities in a Surface Water in Shanghai	CHEN Lies RAI Vise by: 111 Ning et al. (3760
Laboratory Evaluation of Remediation of Nitrobenzene Contaminated Aquifer by Using Groundwater Circulation Well	
Sorption Characteristics of Tea Waste Modified by Hydrated Ferric Oxide Toward Pb(II) in Water	
Effects of UV Radiation on the Aggregation Performance of Small Molecular Organic Acids	
UV Photolysis of Propranolol in Aqueous Solution: Mechanism and Toxicity of Photoproducts	
Photo-catalytical Degradation of Diphenylarsinic Acid by TiO ₂ (P25)	
Effect of Carbon/Nitrogen Ratio on Short-Cut Nitrification and Denitrification of Polyurethane Biofilm Reactor	
Distribution and Removal of Anaerobic Antibiotic Resistant Bacteria During Mesophilic Anaerobic Digestion of Sewage Sludge	
Spatial Distribution and Risk Assessment of Insecticides in Surface Soil from a Rapidly Urbanizing Region	
Field Measurement of Soil Mercury Emission in a Masson Pine Forest in Tieshanping, Chongqing in Southwestern China	
Chlorine Speciation and Concentration in Cultivated Soil in the Northeastern China Studied by X-Ray Absorption Near Edge Structu	
Soil Organic Carbon Storage Changes with Land Reclamation Under Vegetation Reconstruction on Opencast Coal Mine Dump	
Effect of Sulfur on the Species of Fe and As Under Redox Condition in Paddy Soil	· TANG Bing-pei, YANG Shi-jie, WANG Dai-zhang, et al. (3851
Response of Ectomycorrhizal Fungi to Aluminum Stress and Low Potassium Soil	······ ZHANG Wei, HUANG Jian-guo, YUAN Ling, et al. (3862
Long-Term Manure Application Induced Shift of Diversity and Abundance of Antibiotic Resistance Genes in Paddy Soil	HUANG Fu-yi, LI Hu, WEI Bei, et al. (3869
Effect of Phosphate and Organic Acid Addition on Passivation of Simulated Pb Contaminated Soil and the Stability of the Product	
Bioremediation of Chromium (VI) Contaminated Site by Reduction and Microbial Stabilization of Chromium	··· ZHENG Jia-chuan ZHANG Jian-rong LIU Xi-wen et al. (3882
Effect of Thermal Enhanced Soil Vapor Extraction on Benzene Removal in Different Soil Textures	
Effects of Elevated O ₃ Concentration on Nitrogen in Greening Tree Species in Southern China	• •
Effects of Nitrogen Application on Soil Greenhouse Gas Fluxes in Eucalyptus Plantations with Different Soil Organic Carbon Content	
Ozone Effects on Soil Microbial Community of Rice Investigated by ¹³ C Isotope Labeling	
Enhanced Aerobic Degradation of Low Chlorinated Biphenyls by Constructing Surfactants Burkholderia xenovorans LB400 Based Sys	
Identification of a High Ammonia Nitrogen Tolerant and Heterotrophic Nitrification-Aerobic Denitrification Bacterial Strain TN-14 a	
recommendation of a ringar minimum a rintegen rotetant and reconstruction recommendation bacterial status river in	
Isolation and Identification of Electrochemically Active Microorganism from Micro-Aerobic Environment	
Characteristics of Microbial Community Structure During Isolation of Electrical Active Bacteria	
Predicting Copper Toxicity to Hypophthalmichthys molitrix and Ctenopharyngodon idellus Based on Biotic Ligand Model	
Macrozoobenthos Community Structure and Water Quality Evaluation of Tian'e Zhou Oxbows	
Species Selection Methods in Deriving Water Quality Criteria for Aquatic Life ZI	
	• • •
Correlations Between HBCD and Thyroid Hormone Concentrations in Human Serum from Production Source Area	
Preparation of Cobalt Oxide Mesoporous Metallic Oxide-Clay Composites and Their Catalytic Performance in the Oxidation of Benzer	
Catalytic Degradation of Naphthalene by CuO(-CeO ₂)/Al ₂ O ₃	
Toxicity Tests and Their Application in Safety Assessment of Water Quality	
Assessment on the COD Discharge Status of Municipal Wastewater Treatment Plant in a City of China	
Assessment of Ecological Environment Benefits of Reclaimed Water Reuse in Beijing	
Construction of Index System for Early Warning of Persistent Organic Pollutants (POPs) Pollution Incidents in China Environmental Damages Assessment; Establishment of System Framework in China	

《环境科学》第6届编辑委员会

主 编:欧阳自远

副主编:赵景柱 郝吉明 田 刚

编 委:(按姓氏笔画排序)

万国江 王华聪 王凯军 王绪绪 田 刚 田 静 史培军

朱永官 刘志培 汤鸿霄 陈吉宁 孟 伟 周宗灿 林金明

欧阳自远 赵景柱 姜 林 郝郑平 郝吉明 聂永丰 黄 霞

黄耀 鲍强潘纲潘涛魏复盛

环维种草

(HUANJING KEXUE)

(月刊 1976年8月创刊)

2014年10月15日 第35卷 第10期

ENVIRONMENTAL SCIENCE

(Monthly Started in 1976)

Vol. 35 No. 10 Oct. 15, 2014

主	管	中国科学院	Superintended	by	Chinese Academy of Sciences
主	办	中国科学院生态环境研究中心	Sponsored	by	Research Center for Eco-Environmental Sciences, Chinese
协	办	(以参加先后为序)			Academy of Sciences
		北京市环境保护科学研究院	Co-Sponsored	by	Beijing Municipal Research Institute of Environmental
		清华大学环境学院			Protection
主	编	欧阳自远			School of Environment, Tsinghua University
		* * · · · · · · · =	Editor-in -Chief	•	OUYANG Zi-yuan
编	辑	《环境科学》编辑委员会	Edited	by	The Editorial Board of Environmental Science (HUANJING
		北京市 2871 信箱(海淀区双清路			KEXUE)
		18号,邮政编码:100085)			P. O. Box 2871, Beijing 100085, China
		电话:010-62941102,010-62849343			Tel:010-62941102,010-62849343; Fax:010-62849343
		传真:010-62849343			E-mail: hikx@ rcees. ac. cn
		E-mail; hjkx@ rcees. ac. cn			http://www.hjkx.ac.cn
.1.	11-	http://www.hjkx.ac.cn	Published	bv	Science Press
出	版	4 4 k k			16 Donghuangchenggen North Street,
		北京东黄城根北街 16 号			Beijing 100717, China
CD Ed 3 1		邮政编码:100717	Printed	bv	Beijing Bei Lin Printing House
印刷装		北京北林印刷厂	Distributed	by	Science Press
发	行	4 4 8 8 4	Distributed	Dy	Tel:010-64017032
		电话:010-64017032			E-mail: journal@ mail. sciencep. com
订购	处	E-mail:journal@ mail. sciencep. com	Domestic		All Local Post Offices in China
		全国各地邮电局			
国外总统	又1丁	中国国际图书贸易总公司	Foreign		China International Book Trading Corporation (Guoji
		(北京 399 信箱)			Shudian), P. O. Box 399, Beijing 100044, China

中国标准刊号: ISSN 0250-3301 CN 11-1895/X

国内邮发代号: 2-821

国内定价:90.00元

国外发行代号: M 205

国内外公开发行